

7. Лебедев И. П., Полякова Т. Н., Покрякова М. В. и др. Развитие зон раннепротерозойского внутриконтинентального рифтогенеза Воронежского кристаллического массива // Проблемы геодинамики и минерагении Восточно-Европейской платформы. Мат. международной конф. Т. 1. Воронеж: Изд-во ВГУ, 2002. С. 150–151.
8. Маслов А. В., Гареев Э. З. Использование петрографических данных для реконструкции условий формирования осадочных образований (на примере стратотипического разреза докембрия) // Генетический формационный анализ осадочных комплексов фанерозоя и докембрия. Мат. 3-го всесоюзного литологического совещания (Москва, 18–20 марта 2003 г.), М.: Изд-во МГУ, 2003. С. 228–231.
9. Мигдисов А. А., Балашов Ю. А., Шарков И. В. и др. Распространенность редкоземельных элементов в главных литологических типах пород осадочного чехла Русской платформы // Геохимия. 1994. № 6. С. 789–803.
10. Плаксенко Н. А. О некоторых особенностях строения толщи метаморфических пород докембия КМА, причинах их возникновения и стратиграфическом значении // Изв. АН СССР. Сер. геол. 1959. № 3. С. 60–81.
11. Плаксенко Н. А. Главнейшие закономерности железорудного осадконакопления в докембии. Воронеж: Изд-во ВГУ, 1966. 264 с.
12. Полищук В. Д., Головкин Н. И., Зайцев О. С. и др. Геология, гидрогеология и железные руды бассейна Курской магнитной аномалии. Т. 1. Кн. I. М.: Недра, 1970. 439 с.
13. Ронова А. Б., Балашов Ю. А., Мигдисов А. А. Геохимия редкоземельных элементов в осадочном цикле // Геохимия. 1967. № 3. С. 3–19.
14. Сиротин В. И. О химическом составе слюд материнских пород глиноземной коры выветривания Белгородского района КМА // Тр. Воронеж. ун-та. 1982. Т. 86. С. 91–96.
15. Сиротин В. И. Лебедев И. П. О литогенезе глиноземистых пород докембия Воронежского кристаллического массива // Геология и геофизика. 1984. № 10. С. 11–18.
16. Страхов Н. М. Основы теории литогенеза. Т. 1. М.: Изд-во АН СССР, 1960. 212 с. Т. 2. 534 с.
17. Страхов Н. М. Типы литогенеза и их эволюция в истории Земли. М.: ГОНТИ, 1963. 534 с.
18. Холленд Х. Химическая эволюция океанов и атмосферы. М.: Мир, 1989. 552 с.
19. Холодов В. Н., Бутузова Г. Ю. Проблемы геохимии железа и фосфора в докембии // Литология и полезные ископаемые. 2001. № 4. С. 339–352.
20. Холодов В. Н., Бутузова Г. Ю. Проблемы сидеритобразования и железорудные эпохи. Сообщение 1. Типы сидеритсодержащих железорудных месторождений // Литология и полезные ископаемые. 2004. № 5. С. 451–475.
21. Хэскин Л. А., Фрей Ф. А., Шмидт Р. А., Смит Р. Х. Распределение редких земель в литосфере и космосе. М.: Мир, 1966. 187 с.
22. Шатров В. А. Редкоземельные элементы как индикаторы условий образования метаосадочных пород нижнего протерозоя // Докл. РАН. 2004. Т. 397. № 3. С. 396–399.
23. Шатров В. А. Реконструкция обстановок осадконакопления метаосадочных пород нижнего протерозоя на основе редкоземельных элементов (на примере Восточно-Европейской платформы) // Вестн. Воронеж. ун-та. Сер. геология. 2004. № 1. С. 38–42.
24. Щеголов И. Н. Железорудные месторождения докембия и методы их изучения. М.: Недра, 1985. 197 с.
25. Гамес Н. И. Sedimentary facies of iron formation // Econ. Geol. 1954. V. 49, N 3. P. 211–234.
26. Гамес Н. И. Zones of regional metamorphism in precambrian of Northern Michigan // Bull. Geol. Soc. Amer. 1955. V. 66. N 12. P. 1103–1150.

УДК 552.16 (470.22)

массива // Вестн. Воронеж. ун-та. Сер. геология. 2004. № 1. С. 30–37.

17. Страхов Н. М. Типы литогенеза и их эволюция в истории Земли. М.: ГОНТИ, 1963. 534 с.
18. Холленд Х. Химическая эволюция океанов и атмосферы. М.: Мир, 1989. 552 с.
19. Холодов В. Н., Бутузова Г. Ю. Проблемы геохимии железа и фосфора в докембии // Литология и полезные ископаемые. 2001. № 4. С. 339–352.
20. Холодов В. Н., Бутузова Г. Ю. Проблемы сидеритобразования и железорудные эпохи. Сообщение 1. Типы сидеритсодержащих железорудных месторождений // Литология и полезные ископаемые. 2004. № 5. С. 451–475.
21. Хэскин Л. А., Фрей Ф. А., Шмидт Р. А., Смит Р. Х. Распределение редких земель в литосфере и космосе. М.: Мир, 1966. 187 с.
22. Шатров В. А. Редкоземельные элементы как индикаторы условий образования метаосадочных пород нижнего протерозоя // Докл. РАН. 2004. Т. 397. № 3. С. 396–399.
23. Шатров В. А. Реконструкция обстановок осадконакопления метаосадочных пород нижнего протерозоя на основе редкоземельных элементов (на примере Восточно-Европейской платформы) // Вестн. Воронеж. ун-та. Сер. геология. 2004. № 1. С. 38–42.
24. Щеголов И. Н. Железорудные месторождения докембия и методы их изучения. М.: Недра, 1985. 197 с.
25. Гамес Н. И. Sedimentary facies of iron formation // Econ. Geol. 1954. V. 49, N 3. P. 211–234.
26. Гамес Н. И. Zones of regional metamorphism in precambrian of Northern Michigan // Bull. Geol. Soc. Amer. 1955. V. 66. N 12. P. 1103–1150.

Воронежский государственный университет

ИГЕМ РАН

Рецензент — Л.Д.Оникиенко

А.А. ТРЕТЬЯКОВ, Е.Ф. БАЗАРКИНА, В.А. УТЕНКОВ

МЕЛАНОКРАТОВЫЕ БУДИНЫ В РОГОВООБМАНКОВО-БИОТИТОВЫХ ПЛАГИОМИГМАТИТАХ СЕВЕРНОЙ КАРЕЛИИ

Установлена зональность будин апосерпентинитов. Наружная роговообманково-биотитовая оболочка — тангенциальная. Ядро, радиально-лучистое, состоит из двух зон: внешней — tremolитовой, и внутренней — кальцит-антофиллитовой. На границе оболочки и ядра установлен градиент температуры в интервале 700–600°C. Зональность отражает смену медленного и быстрого роста, а также переход условий от щелочных к кислотным и вновь к щелочным, она сохраняется и при общем понижении температуры. Источником Ca является флюид — следствие дебазификации метаморфической толщи при плагиогранитизации.

Плагиомигматиты, в которые включены меланократовые будины, состоят из кварца, плагиоклаза (~30% An), биотита и роговой обманки. Содержание цветных минералов 15–20%. Породы такого состава широко известны в разных комплексах (беломорский в Северной Карелии, аллареченский на северо-западе Кольского п-ова, сысерско-ильменогорский на Урале и др.). В [5, 14, 17, 20] показано, что эти породы — устойчивые продукты метасоматической плагиогранитизации метаморфического субстрата (амфиболитов и чередующихся с ними гранат-биотитовых плагиогнейсов). По хи-

мическому составу они соответствуют магматическим тоналитам [14, 17], в связи с чем их иногда называют тоналито-гнейсами [14, 17]. Как подчеркнул Б.М. Роненсон [14], состав минералов в плагиомигматитах не связан с составом исходных горных пород, а изменяется по мере эволюции процесса плагиогранитизации. Доля аортитовой составляет уменьшающуюся, а железистость цветных минералов возрастает. Такие соотношения возникают при метасоматозе вследствие увеличения общей щелочности и подвижного поведения щелочных элементов и Ca. Особенность этого процесса

заключается в том, что он развивается квазистатически медленно. В результате формируются однородные породы с равновесными структурами. Опыт геологического картирования [5, 16] показал, что такой структурной однородностью обладают породы, слагающие «гнейсовые ядра» куполов.

В [14, 16] установлено, что метасоматический процесс развивается ступенчато. Кроме роговообманково-биотитовых плахиомигматитов (средний состав по микроскопическим определениям в 17 шлифах: кварц 16, плахиоклаз 70, биотит — 7, роговая обманка 7%) характерным устойчивым составом обладают биотитовые плахиомигматиты (средний состав из 10 определений: кварц 23, плахиоклаз 67, биотит 7%), а также некоторые другие устойчивые продукты плахигранитизации [14, 17]. Новообразованные породы на каждой ступени по химическому составу соответствуют какой-либо котектической интрузивной горной породе [14]. Одно из возможных объяснений этого следует из представления о силикатных солевых расплавах с различной степенью полимеризации кремниевых кислот [6]. Неизбежно возникающая при этом дискретность составов магматических пород повторяется и в случае образования метасоматических аналогов.

Меланократовые будины размером до 60 см имеют тонкую (несколько миллиметров) черную скользуоповидную роговообманково-биотитовую оболочку и светлое зональное ядро (рис. 1). Внешняя зона ядра, примыкающая к оболочке, сложена tremolитом, внутренняя — антофиллитом и кальцитом. В оболочке ориентировка минералов тангенциальная, совпадающая с гнейсовидностью

вмещающих плахиомигматитов, в ядре — радиально-лучистая. В плахиомигматитах и амфибол-биотитовой кайме взаимоотношения между главными минералами равновесные. Структура ядра иная: здесь отчетливо проявлены неравновесные отношения минералов. В частности, видны признаки гомоосевого замещения роговой обманки tremolитом. Кроме того, среди бесцветных амфиболов часто встречаются реликты не только роговой обманки, но и биотита из внешней оболочки, что указывает на поглощение минералов передовых зон тыловыми. Цветные минералы будин отличаются от своих аналогов из плахиомигматитов значительно более высокой магнезиальностью, а роговая обманка — еще и низкой глиноземистостью (таблица). Это позволяет рассматривать амфибол-биотитовую кайму в качестве передовой зоны метасоматического изменения гипербазитов.

Антофиллитизация серпентинитов — широко развитый процесс, характерный для гнейсово-магматитовых полей [5, 7]. Как показывает геологическое картирование, за пределами гнейсово-магматитовых комплексов антофиллитизация серпентинитов отсутствует.

Рассмотрим переходы между главными минеральными ассоциациями (рис. 1), относящимися к ранней стадии минералообразования. Метасоматическое превращение серпентинита в антофиллит в принципе требует поступления кремнезема, вероятно, в гидратированной форме (H_4SiO_4 или SiO_2aq). Реакция преобразования серпентина в антофиллит сопровождается увеличением объема, чему, по-видимому, способствует снижение общего давления в сводах купольных структур:

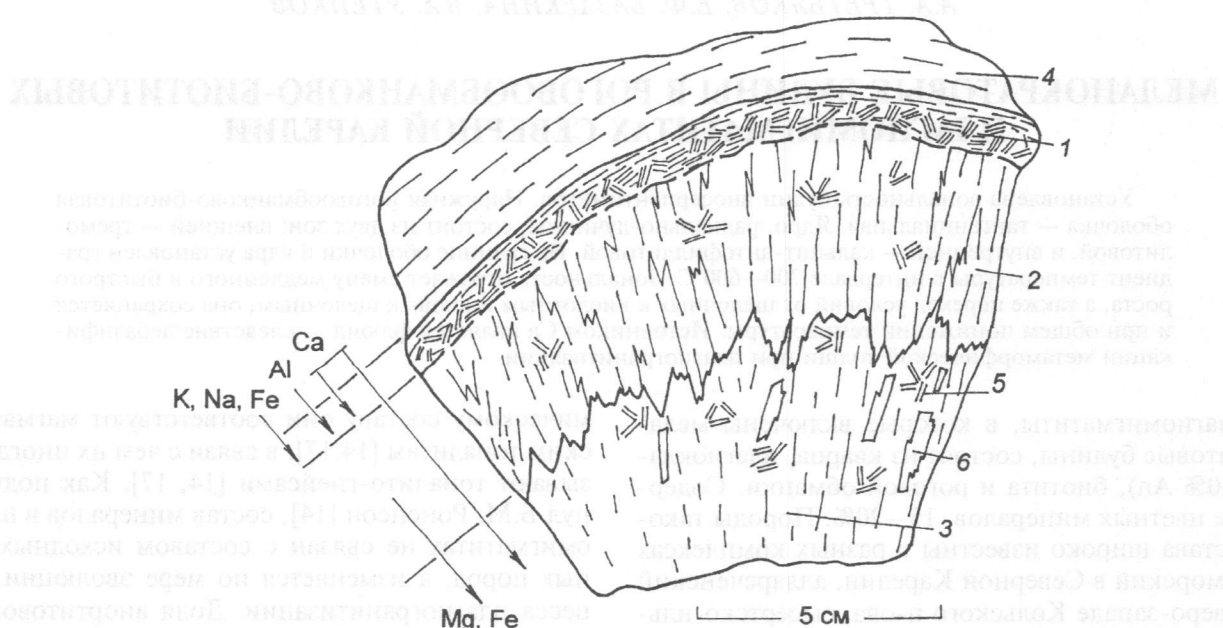
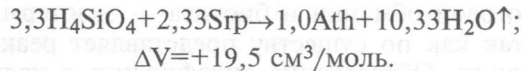


Рис. 1. Зарисовка фрагмента будины измененного гипербазита в плахиомигматитах: 1 — роговообманково-биотитовая оболочка, 2 — tremolитовая зона, 3 — антофиллитовая зона с кальцитом; 4 — плахиомигматиты; 5 — реликты биотита и роговой обманки; 6 — реликты tremolита в антофиллите, стрелки — направление миграции главных компонентов

Составы минералов из плагиомигматитов (1-2) и меланократовых будин (3-5), мас. %

Компоненты	1	2	3	4	5	6
SiO ₂	35,97	42,48	38,03	53,20	60,80	59,67
TiO ₂	2,76	0,76	2,25	0,09	0,03	0,01
Al ₂ O ₃	15,64	13,14	16,77	5,80	1,08	0,18
Fe ₂ O ₃	3,28	3,34	—	—	—	—
FeO	16,70	13,91	13,53	6,30	4,10	13,46
MnO	0,19	0,26	0,11	0,31	0,17	0,87
MgO	12,15	9,38	15,07	18,49	19,06	23,14
CaO	0,50	11,50	0,01	14,29	13,97	0,65
Na ₂ O	0,21	1,33	0,03	0,74	0,21	0,07
K ₂ O	8,24	1,28	11,78	0,25	0,10	0,01
H ₂ O ⁺	—	2,06	—	—	—	—
П.п.п.	4,07	0,35	—	—	—	—
Σ	99,71	99,79	97,58	99,47	99,52	98,06
M	0,52	0,49	0,66	0,83	0,89	0,74

Примечание. 1 — биотит, 2 — роговая обманка из плагиомигматитов [20]; 3 — биотит из амфибол-биотитовой каймы будины; 4 — роговая обманка из той же оболочки; 5 — tremolit из внешней зоны ядра будины; 6 — антофиллит из центральной зоны ядра будины; анализы 3—5 выполнены на микрозонде MS-46 (аналитик В.М. Козловский, МГГРУ). M — магнезиальность, Mg/(Mg+Mn+Fe²⁺+Fe³⁺).



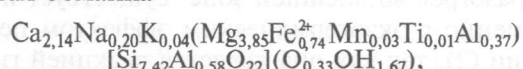
Реакция идет в условиях повышения температуры как минимум на 150°C, так как сопровождается дегидратацией [11].

Реакции, протекающие в будинах, требуют учета реального состава минералов. Кристаллохимические формулы минералов будин с учетом поправок на избыток SiO₂ в анализах tremolita и антофиллита и K₂O в анализе биотита:

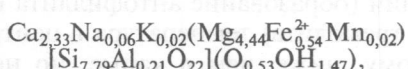
биотит —



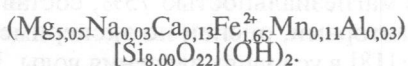
роговая обманка —



tremolit —



антофиллит —

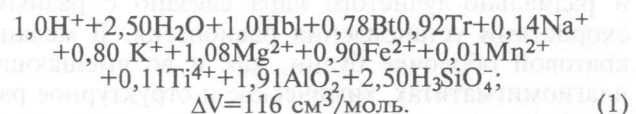


Кайма будин, судя по составу минералов, представляет продукт изменения гипербазита. Так, магнезиальность биотита (0,66) и роговой обманки (0,83) намного выше, чем у аналогичных минералов из плагиомигматитов. Об этом свидетельствует и низкое содержание Al в роговой обманке. Очевидно, амфибол-биотитовая кайма — зона накопления Fe и Al, а также некоторого количества кальция и щелочей, поступающих из флюида, равновесного с плагиомигматитами. На возможность связывания оснований при переходе от щелочных условий к кислотным указывал Б.М. Роненсон [15]. Под щелочными условиями подразумеваются

условия кремниево-щелочного регионального метасоматоза, приводящего к образованию плагиомигматитов за счет исходных плагиогнейсов и амфиболитов. Под кислотными условиями подразумевается понижение pH среды при образовании tremolita.

Если во внешней — тангенциальной оболочке взаимоотношения минералов равновесные, то в радиально-лучистом ядре замещение минералов выражено отчетливо. Здесь наблюдалось осветление роговой обманки по краям ее выделений и рост шестоватых кристаллов tremolita в сторону центра будины. Между ними выявлены мелкие ксеноморфные реликты биотита, иногда роговой обманки. Tremolитизация роговой обманки и разложение биотита идут в кислой среде с выносом Mg, Fe, Ti, щелочей, глинозема и частично кремнезема.

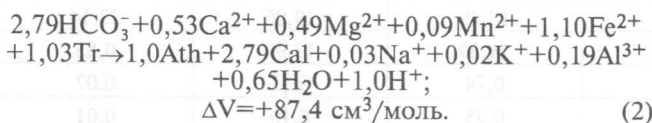
В сбалансированном по зарядам уравнении эта реакция записывается так:



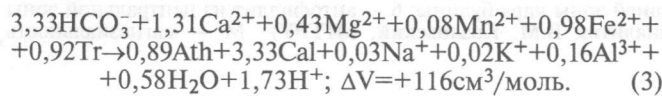
Ионная форма переноса кремния и алюминия выбрана, исходя из непротиворечивости петрологическим представлениям: константа ионизации кремниевой кислоты $K_d[\text{H}_4\text{SiO}_4]$ и ионное произведение $[\text{H}_3\text{SiO}_4^-][\text{H}^+]$ в воде [2], быстро возрастают с увеличением температуры. Интенсивный вынос кремния вместе с металлами осуществляется в случае высокой температуры (700°C) в щелочной среде. Миграция алюминия в форме AlO₄⁻ принята также для условий выноса в щелочной среде [12]. Миграция алюминия в форме иона Al³⁺ используется для условий сильно кислых сред [12]. Главный вывод: поглощение минералов меланократовой

каймы ($\text{Bt}+\text{Hbl}$) тыловой тремолитовой зоной проходит в кислотных условиях устойчивости тремолита с выносом щелочей, магния, железа, глиноэма (AlO_2^-) и части кремнезема.

В следующей зоне (уже в центре будин) новообразованный тремолит замещается ассоциацией шестоватого антофиллита и окаймляющего его монокристаллического кальцита в щелочной среде с накоплением Mg, Mn, Fe, Ca:



Целесообразно записать эту реакцию как тыловую по отношению к предыдущей (где образуется $0,92\text{Tr}$) и одновременно скомпенсировать разницу ΔV увеличением количества кальцита. В этом варианте реакция (2) запишется так:



Как видим, в этом варианте реакции помимо равенства объемов количества поступающего и выносимого железа практически совпадают, что позволяет пренебречь его окислением в щелочной обстановке. Связывание оснований не компенсирует полностью вынос магния в реакции (2). Следовательно, его фиксация возможна на более поздней, низкотемпературной, стадии. Таким образом, внешняя меланократовая амфибол-биотитовая зона соответствует переходу от щелочных условий к кислотным, тремолитовая — кислотным условиям, а внутренняя кальцит-антофиллитовая зона — щелочным. Такая эволюция единого метасоматического процесса обычно связана с понижением температуры. Однако изменение кислотности—щелочности, кроме того, сопровождается определенными осложнениями, приводящими к разнотипным структурам.

Различие структур амфибол-биотитовой каймы и радиально-лучистого ядра связано с разными скоростями установления равновесия. В меланократовой оболочке будин, как и во вмещающих плагиомигматитах, химическое и структурное равновесие устанавливалось в каждый момент времени из-за квазистатически медленного протекания процесса [8, 10]. Для внутренних зон характерны состояния не завершившихся равновесий, вызванные условиями быстрого роста, признаками которого [3, 4] являются многочисленные реликты минералов передовой зоны и радиально-лучистая структура. Равновесный (слоевой, тангенциальный, гранный) и неравновесный (неслоевой, нетангенциальный, волокнистый) рост минералов — два крайних типа, различающиеся скоростью роста в слоевом и нормальном по отношению к слоям направлениях. Неслоевой рост, приводящий к образованию радиально-лучистых структур, обязан

возникновению градиента температуры на фронте радиального роста [19].

В рассматриваемом примере метасоматитов имеются оба типа ростовых структур — равновесный в кайме и неравновесный в ядре. Изолированное установление полного (без реликтов) равновесия в кайме означает, что возможен не только температурный градиент, но и скачок температуры на границе каймы и внутренних зон. Состояние, при котором теплопередача затруднена, представляет адиабатическую изоляцию [10] смежных зон. Так, в случае экзотермического процесса, приводящего к концентрической метасоматической зональности, температурный градиент на границах смежных зон неизбежен [9]. При этом значительный расчетный градиент (150°C) достигается для тел с большим поперечным размером — в несколько сотен метров и более. В нашем случае масштабы концентрической зональности неизмеримо меньше, а радиальному росту кристаллов способствуют реакции, которые идут с отличающимися тепловыми эффектами. Реакция тремолитообразования (2) за счет роговой обманки и биотита — экзотермическая, так как по существу представляет реакцию гидратации. Образование антофиллита с кальцитом за счет тремолита (3, 4), напротив, эндотермично, так как протекает с выделением воды.

Температура равновесия роговой обманки и биотита, определенная по их магнезиальности [13], составляет 780°C . Это значительно выше температуры аналогичного равновесия в плагиомигматитах (580°C для пары амфибол—биотит, анализы 1 и 2 в таблице). Возможно, температура 780°C завышена, так как роговая обманка из каймы из-за ее малой глиноzemистости отличается от амфиболов, составы которых лежат в основе геотермометра [13]. Однако разогрев во внешней зоне существует и связан именно с экзотермическим эффектом первой реакции (2), так как она является реакцией гидратации [11]. Вследствие эндотермичности следующей реакции (образование антофиллита и кальцита за счет тремолита) температура в центре будин, по-видимому, ниже, чем в кайме, но не меньше 600°C . Этот нижний предел устойчивости антофиллита с магнезиальностью 75%, состав которого приведен авторами, оценен по экспериментальной диаграмме [18] в условиях давления воды 100 МПа.

Влияние давления воды на расширение поля устойчивости антофиллита менее значительно, чем давление на твердые фазы (P_s), и оптимальный интервал температур для антофиллита переменной магнезиальности — 500 – 700°C при $P_{\text{H}_2\text{O}} = 100$ МПа [11]. Таким образом, общий температурный интервал для каймы и ядра, скорее всего, укладывается в рамки 700 – 600°C . Причем из-за разных механизмов установления равновесий вероятен температурный градиент в пределах этого интервала.

Естественное следствие высокотемпературной зональности — появление локальных регressiveных реакций, идущих на фоне общего понижения

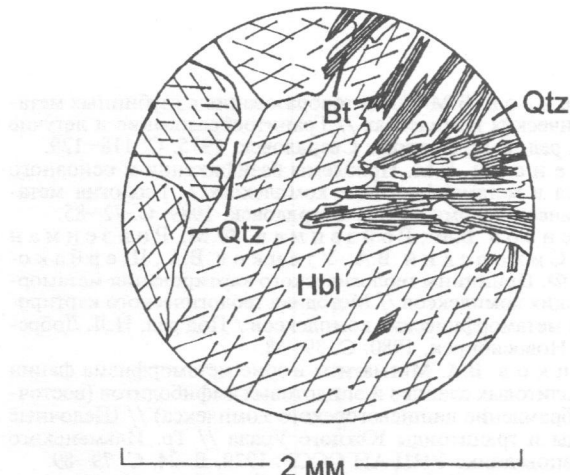
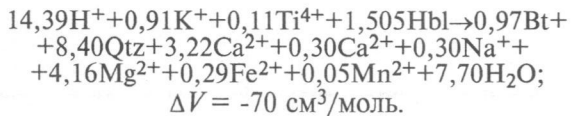
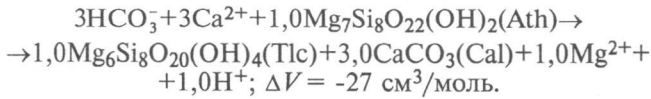


Рис. 2. Кварц-биотитовый симплектит с мелкими овальными включениями реликтовой роговой обманки, зарисовка шлифа

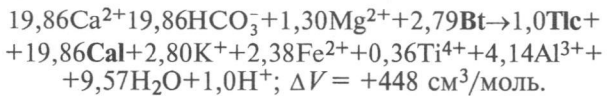
температуры и нарушающих равновесие. В настоящем примере наблюдается два типа таких реакций. В амфибол-биотитовой кайме остается и заметно укрупняется биотит, а роговая обманка исчезает, замещаясь разрастающимся биотитом в симплектитовом срастании с кварцем (рис. 2). В сбалансированной по зарядам ярко выраженной реакции, протекающей в кислой среде, сохраняются Al и Si, а выщелачиваются главным образом Mg и Ca:



В центре будин при общем понижении температуры развивалась другая локальная реакция, но уже в щелочных условиях. Здесь происходило позднее оталькование антофиллита и образовывалась мелкозернистый кальцит. Реакция для идеальных составов антофиллита и талька:



Высвобождающийся магний также связывается в тальке, который вместе с кальцитом образуется не только по антофиллиту, но и по реликтам биотита:



На более низкотемпературные условия талькообразования в принципе указывают эксперименты Гринвуда [21], в которых путем нагревания талька до 680° (P 50 МПа) — 710°С (P 200 МПа) был получен антофиллит вместе с кварцем. Эти цифры не могут напрямую переноситься на тальк-карбонат-

ный парагенезис. Вероятно, следует считать, что в рассматриваемой ассоциации минералов образование талька совместно с кальцитом происходило при температуре ниже, чем оцененная температура устойчивости антофиллита с магнезиальностью 75 %, т. е. < 600°C.

Интересен тот факт, что в отличие от антофиллита реликтовый биотит замещается тальком с параллельным выделением большого количества кальцита. Участие кальцита в поздних апосерпентинитовых ассоциациях, как правило, не анализируется. Либо рассматриваются парагенезисы без карбоната [7, 11, 18], либо с магнезитом [1, 5]. Участие кальцита подчеркивает неизохимичность преобразования серпентинитов и ставит вопрос об источнике кальция. Очевидно, что источником кальция является флюид, а насыщение последнего щелочноземельными металлами — следствие дебазификации («плагиогранитизации») первичного метаморфического субстрата, содержащего в своем составе амфиболиты. Признаком повышенного содержания углекислоты в растворах (флюиде) служит присутствие антофиллита вместо энстатита [7].

Выходы

1. Структурное различие радиально-лучистого ядра и тангенциальной оболочки меланократовых будин отражают условия быстрого и медленного роста. В первом случае среди tremolita и антофиллита сохраняются реликты биотита и роговой обманки из оболочки. Во втором — реликты исходных минералов отсутствуют.

2. Различие в условиях роста в ядре и кайме указывает на градиенты температуры между каймой и ядром и кислотности—щелочности в зональном ядре, что подтверждено бескарбонатными первичными и вторичными реакциями в кайме и реакциями с образованием кальцита в ядре.

3. Высокомагнезиальный состав силикатов из будин отражает их апосерпентинитовое происхождение. Некоторое накопление Fe и Al, частично Ca и щелочей в роговой обманке и биотите соответствует нейтральной среде при переходе от щелочных условий к кислотным.

4. Реакция образования tremolita в кислой среде за счет роговой обманки и биотита, а затем щелочная реакция возникновения антофиллита за счет tremolita практически восстанавливают исходный состав серпентинита, но с добавлением новообразованного кальцита.

5. Фиксация кальция в форме кальцита подчеркивает неизохимичность преобразования серпентинитов в условиях плагиогранитизации. Источник кальция — флюид, а его насыщение щелочноземельными элементами — следствие дебазификации метаморфического субстрата при плагиогранитизации.

